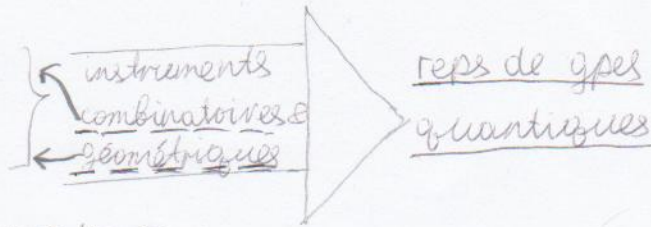


Bases cristallines: intro

Kashiwara: bases cristallines (1991)

Lusztig: bases canoniques (1991)



$$\text{ch } M_\lambda = \sum_{\lambda \in P} (\dim_{\mathbb{C}} M_\lambda) e^\lambda \text{ pour } M \in \sigma_{\text{int}}$$

Lusztig // pour q générique

$$\text{ch } M_\lambda^q = \sum_{\lambda \in P} (\dim_{\mathbb{C}} M_\lambda^q) e^\lambda \text{ pour } M \in \sigma_{\text{int}}^q$$

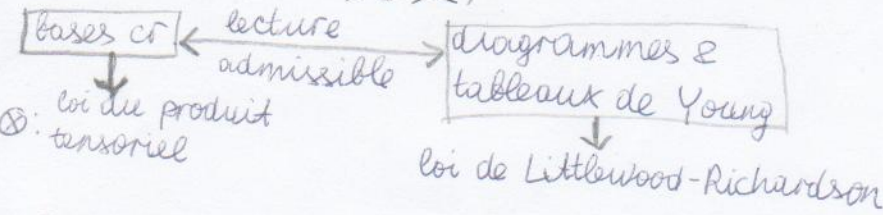
$q=0$ la sitⁿ est la + simple globalisⁿ → base globale de M^q

Kashiwara: graphe cristallin (colorié), arêtes = opérateurs de Kashiwara = une action modifiée des vecteurs racines
 modèle de chemins de Littelmann (1991)

→ facilite la manipulation du produit tensoriel

→ permet de calculer les caractères (multiplicités des poids)

Pour les a.t. classiques,



Pour les a. quantiques affines $U_q(\mathfrak{g})$,

physique

théorie de reps

bases cr.

combinatoire

modèle exacts solubles

reps des gpes quantique qui correspondent aux alg. de Kac-Moody affines

cristaux parfaits

ours de Young

e.g.: fonction d'un pt pour le "6-vertex model"

= fⁿ de corde / Char (rep basique de $U_q(\mathfrak{sl}_2)$)

$q=0$: zéro absolu

q = température

Lusztig & Ringel (88): gpe quantique = l'algèbre de Hall ass. à un carquois

BASES CRISTALLINES 5:

d'après Kashiwara et Hong & Kang

Plan:

- ① Bases cristallines: cas général. $U_q(\mathfrak{g})$ -modules
- ② Produit tensoriel de BCr.
- ③ Graphes cristallins.
- ④ Théorèmes d'existence et d'unicité.
- ⑤ Cristaux.

Avantages des bases cristallines:

- on comprend mieux la str. de $U_q(\mathfrak{g})$ Mod, et donc de U_q Mod ^(caractères)
 - le calcul de $V_1 \otimes V_2$ devient plus facile
 - on "régularise" les actions de e_i & f_i et on le rend presque inverses l'une de l'autre
- } méthodes combinatoires

On travaille avec une algèbre de kac-Moody symétrisable \mathfrak{g} , son algèbre enveloppante quantique $U_q(\mathfrak{g})$,

et un module $M \in O_{int}^{\text{ob}}$, i.e. (1) M est un module de poids, i.e. $M = \bigoplus_{\lambda \in P} M_\lambda$, où $M_\lambda = \{u \in M \mid q^h u = q^{\lambda(h)} u, \forall h \in P^\vee\}$
 (2) $\dim_{\mathbb{R}} M_\lambda < \infty \forall \lambda \in P$
 (3) $\text{wt } M \subseteq \bigcup_{i=1}^s \mathcal{D}(\lambda_i)$, $\mathcal{D}(\lambda) = \{\mu \in P \mid \mu \leq \lambda\}$
 (4) les e_i et f_i sont localement nilpotents sur M .

On va écrire en noir tout ce qu'il y a de nouveau !. cas \mathfrak{sl}_n .

① Une base cristalline (L, B) de M est:

- (a) une base locale en $q=0$ de M , i.e. $L \subseteq M$ est un sous- A_0 -module libre, avec $\mathbb{R} \otimes_0 L = M$
- (b) compatibilité avec la décomposⁿ de poids: $(L, B) \cong \bigoplus_{\lambda \in P} (L_\lambda, B_\lambda)$, où (L_λ, B_λ) est une base locale de M_λ
- (c) compat. avec $U_q(\mathfrak{g})$: $i \mapsto U_q(\mathfrak{g})$ $\forall i \in I$, i.e. (L, B) est une BCr de M pour l'action de $U_q(\mathfrak{g}) \cong U_q(\mathfrak{sl}_2)$

Rmq: on pourrait dire que (L, B) préserve les structures horizontale & verticale de M .

Rmq: un tel L s'appelle "un treillis cristallin".

Cette défⁿ suggère déjà que bcp de résultats établis dans le cas \mathfrak{sl}_2 vont être transportés dans le cas général grâce aux inclusions $U_q(\mathfrak{g})_i \hookrightarrow U_q(\mathfrak{g})$; éventuellement un calcul supplémentaire sera nécessaire. La récurrence est un autre outil indispensable.

Opérateurs de Kashiwara: $\forall i \in I, \forall u \in M_\lambda$, on a: $f_i u = \sum_{n \geq 0} f_i^{(n)} u_n$, avec $u_n \in M_{\lambda + n\alpha_i}$, et $e_i u_n = 0$,
 posons $\tilde{e}_i u = \sum_{n \geq 1, -\lambda(h_i)} f_i^{(n-1)} u_n$, $\tilde{f}_i u = \sum_{n \geq 0, -\lambda(h_i)} f_i^{(n+1)} u_n$.

Rmq: On a une décomposition différente pour $\forall i \in I$.

Th. Dans la défⁿ d'une BCr, $(C) \Leftrightarrow \forall i \in I, \begin{cases} \tilde{e}_i L \subseteq L, \tilde{f}_i L \subseteq L \\ \tilde{e}_i B \subseteq B \cup \{0\}, \tilde{f}_i B \subseteq B \cup \{0\} \\ \forall b, b' \in B, \exists n, a: b' = \tilde{e}_i^n b \Leftrightarrow b = \tilde{f}_i^n b' \leftarrow " \tilde{e}_i = \tilde{f}_i^{-1} "$

2) Théorèmes de Kashiwara.

Théorème d'existence: Soit λ un poids dominant ($\lambda \in P^+$), i.e. $\lambda(h_i) \geq 0 \forall i$, alors $\exists!$ BCr (L, B) de $V(\lambda)$ avec $B_\lambda = \bar{u}_\lambda$; on a en plus:

$$B = \{ \hat{F}_{i_1} \dots \hat{F}_{i_r} \bar{u}_\lambda \mid r \in \mathbb{N}, i_1, \dots, i_r \in I \setminus \{0\} \}$$

\bar{u}_λ est l'unique $B \in B$ avec $\hat{e}_i B = 0 \forall i \in I$. On note $(L(\lambda), B(\lambda))$ cette BCr. source de B , i.e.

La preuve utilise l'argument du grand lacet: 14 (ou 7) assertions inductives sont démontrées simultanément.

Rmq: La première preuve ne traitait que le cas des types A, B, C, D .

Théorème d'unicité: Si $M \in \mathcal{O}_{\text{int}}^{\otimes}$ a une BCr (L, B) , alors $\exists (M \cong \bigoplus V(\lambda_\nu))$

Rmq: La décompositⁿ $M \cong \bigoplus V(\lambda_\nu)$ n'est pas unique!

$$(L, B) \cong \bigoplus (L(\lambda_\nu), B(\lambda_\nu))$$

↑ str. du th. d'existence

Rmq: La preuve utilise l'existence.

Cr 1: $M \cong \bigoplus V(\text{wt}(B))$ \Rightarrow on comprend la str. de M à partir de sa BCr!

Cr 2: $\lambda, \mu \in P^+ \Rightarrow V(\lambda) \otimes V(\mu) \cong \bigoplus_{\substack{B \in B(\mu) \text{ t. b.} \\ \varepsilon_i(B) \leq \lambda(h_i)}} V(\lambda + \text{wt}(B)) \Rightarrow$ une t.le élégante pour \otimes !

$\diamond B := B(\lambda) \otimes B(\mu)$, alors {sources de B } = $\{ b_1 \otimes b_2 \mid \varepsilon_i(b_1 \otimes b_2) = 0 \forall i \} = \{ b_1 \otimes b_2 \mid \varepsilon_i(b_1) = 0 \forall i \ \& \ \varepsilon_i(b_2) \leq \max\{\varepsilon_i(b_1), \varepsilon_i(b_2) - \text{wt}(b_1)(h_i)\} \}$

Entin $\text{wt}(b_1 \otimes b_2) = \lambda + \text{wt}(b_2) \leftarrow$

\Downarrow
 $b_1 = \bar{u}_\lambda$
 $\varepsilon_i(b_2) \leq \text{wt}(b_2)(h_i) \forall i$

nds § 3!

Ex: la représentation vectorielle de $u_{\mathfrak{g}}(\mathfrak{sl}_n)$: $V = \bigoplus_{i=1}^n \mathbb{K}(q_i) \bar{v}_i$, $\rho(e_i) = E_{i, i+1}$, $\rho(f_i) = E_{i+1, i}$

$B = \{ \bar{v}_1, \dots, \bar{v}_n \}$, $\hat{F}_i \bar{v}_i = \bar{v}_{i+1}$, $\hat{F}_i \bar{v}_j = 0$ si $j \neq i$.

$$\rho(K_i) = \begin{pmatrix} 1 & & & 0 \\ & q & & \\ & & q^{-1} & \\ 0 & & & 1 \end{pmatrix}$$

$\uparrow \quad \uparrow$
 $i \quad i+1$

Ex. 5.1.3, p. 95.

- ③ Pour un $\beta \in B_\lambda$, notons
- $\text{wt}(\beta) = \lambda$
 - $\varepsilon_i(\beta) = \max\{n \geq 0 \mid \tilde{e}_i^n \beta \neq 0\} < \infty$
 - $\varphi_i(\beta) = \max\{n \geq 0 \mid \tilde{f}_i^n \beta \neq 0\} < \infty$

on a :

$$\varphi_i(\beta) - \varepsilon_i(\beta) = \text{wt}(\beta)(h_i)$$

Th. : Soit (L_V, B_V) une BCr de $M_V, V=1,2$, alors $(L_1, B_1) \otimes (L_2, B_2)$ est une BCr de $M_1 \otimes M_2$, avec :

- $\tilde{e}_i(\beta_1 \otimes \beta_2) = \begin{cases} \tilde{e}_i \beta_1 \otimes \beta_2 & \text{si } \varepsilon_i(\beta_1) \geq \varepsilon_i(\beta_2), \\ \beta_1 \otimes \tilde{e}_i \beta_2 & \text{sinon} \end{cases}$
- $\tilde{f}_i(\beta_1 \otimes \beta_2) = \begin{cases} \tilde{f}_i \beta_1 \otimes \beta_2 & \text{si } \varphi_i(\beta_1) > \varphi_i(\beta_2), \\ \beta_1 \otimes \tilde{f}_i \beta_2 & \text{sinon} \end{cases}$
- $\varepsilon_i(\beta_1 \otimes \beta_2) = \max\{\varepsilon_i(\beta_1), \varepsilon_i(\beta_2) - \text{wt}(\beta_1)(h_i)\}$
- $\varphi_i(\beta_1 \otimes \beta_2) = \max\{\varphi_i(\beta_1) + \text{wt}(\beta_2)(h_i), \varphi_i(\beta_2)\}$
- $\text{wt}(\beta_1 \otimes \beta_2) = \text{wt}(\beta_1) + \text{wt}(\beta_2)$

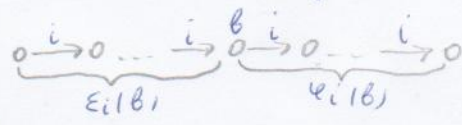
Cr 2 : c.f. § 2 Cr 3 : $B_1 \otimes \dots \otimes B_N \in B_1 \otimes \dots \otimes B_N$ est une source $\Leftrightarrow B_1 \otimes \dots \otimes B_k$ l'est $\forall k \leq N$.

④ Graphe cristallin :

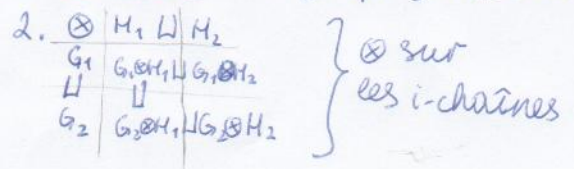
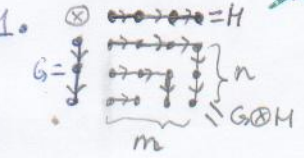
- sommets = B
- flèches orientées colorées $B \xrightarrow{i} \tilde{f}_i B$
- $\forall i \in I, \forall \beta \in B, \beta$ fait partie d'une i -chaîne

Ex. : la reprⁿ vectorielle : $\vec{v}_1 \xrightarrow{1} \vec{v}_2 \xrightarrow{2} \vec{v}_3 \xrightarrow{3} \dots \xrightarrow{n-1} \vec{v}_n$
 Remq. : M est irréductible $\Leftrightarrow G(M)$ est connexe.

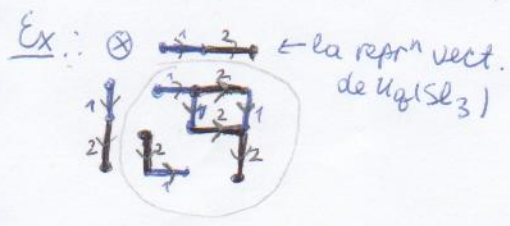
Structure d'un GrCr : i -chaînes superposées.
 simple riche



On définit le produit tensoriel des graphes cristallins :



3. on prend la superpositⁿ des \otimes des i -chaînes pour tous les i .



Prop : Ce \otimes correspond à celui qu'on a défini pour les \mathfrak{g} -les dans § 3.

- Prop : Soit $\lambda \in P^+$ et $(L(\lambda), B(\lambda))$ la BCr de $V(\lambda)$, c.f. le th. d'existence ; notons $G(V(\lambda))$ son GrCr ; alors :
- G est connexe (on oublie les couleurs & les orient^{ns})
 - v_λ est la seule source de G (i.e. un sommet qui n'a pas d'arêtes entrantes)
 - $\forall i \in I, v_\lambda$ est le début d'une i -chaîne de longueur $\lambda(h_i)$

Algorithme du produit tensoriel de Kashiwara :

$$\lambda_1, \lambda_2 \in P^+ \rightsquigarrow (L(\lambda_1), B(\lambda_1)) \rightsquigarrow G(V(\lambda_1)) \rightsquigarrow G(V(\lambda_1)) \otimes G(V(\lambda_2)) = \bigsqcup C \rightsquigarrow V(\lambda_1) \otimes V(\lambda_2) \simeq \bigoplus_{C \in \mathcal{J}} V(\lambda_C)$$

c'est-à-dire \mathcal{J} -composants connexes, avec la source v_C où $\lambda_C(h_i) =$ la longueur de la i -chaîne qui commence en v_C

Dans l'exemple ci-dessus on trouve $V(\lambda_1) \otimes V(\lambda_2) \simeq V(\lambda_2) \oplus V(2\lambda_1)$.

$1^2(V(\lambda_1)) \quad 1^2(V(\lambda_1))$

5) Un cristal sur \mathfrak{g} est un ensemble B muni d'applications $wt: B \rightarrow P$
 $\cdot \varepsilon_i, \varphi_i: B \rightarrow \mathbb{Z} \cup \{-\infty\}$
 $\cdot \tilde{e}_i, \tilde{f}_i: B \setminus \{0\} \rightarrow B \setminus \{0\}$ t.g.
 \uparrow élément fantôme

- (1) $\tilde{e}_i \cdot 0 = \tilde{f}_i \cdot 0 = 0$
- (2) $\varphi_i(B) - \varepsilon_i(B) = wt(B)(h_i)$
- (3) $\forall b \in B$ t.g. $\tilde{e}_i b \neq 0 \Rightarrow \varepsilon_i(\tilde{e}_i b) = \varepsilon_i(b) - 1, \varphi_i(\tilde{e}_i b) = \varphi_i(b) + 1, wt(\tilde{e}_i b) = wt(b) + \alpha_i$
- (4) pareil pour $\tilde{f}_i b$.
- (5) pour $b_1, b_2 \in B, b_2 = \tilde{f}_i b_1 \Leftrightarrow b_1 = \tilde{e}_i b_2$.
- (6) $\varphi_i(b) = -\infty \Rightarrow \tilde{e}_i b = \tilde{f}_i b = 0$.

Ex.: Une BCR de $\mathcal{M} \in \mathcal{O}_{ind}^{\mathfrak{g}}$.

Comme dans le cas sl_2 , on a:
 • une notion de morphisme, morphisme e-ou f-strict, plongement (plein)
 • un produit tensoriel ass.

Un cristal est dit semi-normal si $\varepsilon_i(b) = \max\{n \geq 0 \mid \tilde{e}_i^n b \neq 0\}$ et $\varphi_i(b) = \max\{n \geq 0 \mid \tilde{f}_i^n b \neq 0\}$,
normal, si $\forall j \in I$ t.g. $\#j \leq \infty$ et $(l_i, l_j)_{i,j \in j} > 0$ (i.e. la sous-alg. de Lie \mathfrak{g}_j engendrée par $e_i, f_i (i \in j)$ et $\mathfrak{g}^h (h \in P^V)$ est de dim. finie), le cristal $\Phi_j(B)$ (i.e. B regardé sur $\mathcal{U}_{\mathfrak{g}}(\mathfrak{g}_j)$) est isomorphe au cristal associé à un $\mathcal{M} \in \mathcal{O}_{ind}^{\mathfrak{g}_j}$.

Rmq: \Downarrow la \hat{m} condition $\forall j \in I$ t.g. $\#j \leq 2$.

Prop.: $\lambda \in P^+$ & B un $\mathcal{U}_{\mathfrak{g}}(\mathfrak{g})$ -cristal connexe; si $\varphi: B(\lambda) \rightarrow B$ est un m-sme strict t.g. $\varphi(B(\lambda)) \subseteq B$, alors c'est un isom-sme.

Ex.: (1) un cristal B renversement des flèches $\rightarrow B^V$

(2) $\lambda \in P^+, B(-\lambda) := B(\lambda)^V$, ass. au module simple $V(-\lambda)$ sur $\mathcal{U}_{\mathfrak{g}}(\mathfrak{g})$ de + bas poids $-\lambda$; normal.

(3) $T_\lambda = \{t_\lambda\}, wt(t_\lambda) = \lambda, \varepsilon_i(t_\lambda) = \varphi_i(t_\lambda) = -\infty, \tilde{e}_i t_\lambda = \tilde{f}_i t_\lambda = 0$; non semi-normal;

- $T_\lambda \otimes T_\mu \simeq T_{\lambda+\mu}$
- $T_0 \otimes B \simeq B \otimes T_0$ + cristal $B \Rightarrow T_0$ est un objet neutre pour \otimes

(4) $B(0)$ est un objet neutre dans la catégorie tens. des cristaux semi-normaux;

(5) $B_i = \{b_i(n) \mid n \in \mathbb{Z}\} \cup \{0\}, wt(b_i(n)) = n\alpha_i, \varepsilon_i(b_i(n)) = -\varphi_i(b_i(n)) = -n, \varepsilon_j(b_i(n)) = \varphi_j(b_i(n)) = -\infty \forall j \neq i,$
 $\tilde{e}_i b_i(n) = b_i(n+1), \tilde{f}_i b_i(n) = b_i(n-1), \tilde{e}_j b_i(n) = \tilde{f}_j b_i(n) = 0 \forall j \neq i.$

- non semi-normal
- $\mathfrak{g}(B_i) = \dots \xrightarrow{i} b_i(1) \xrightarrow{i} b_i(0) \xrightarrow{i} b_i(-1) \xrightarrow{i} \dots$
- $T_\lambda \otimes B_i \simeq B_i \otimes T_{S_i \lambda}$
- $B_i \otimes B_i \simeq \bigsqcup_{n \in \mathbb{Z}} B_i \otimes T_{n\alpha_i}$
- $t_\lambda \otimes b_i(n) \mapsto b_i(n + \lambda(h_i)) \otimes t_{S_i \lambda}$

(6) $\mathcal{M}(0)$ sur $\mathcal{U}_{\mathfrak{g}}(sl_2)$: $B(\infty) = \{f^{(k)}u \mid k \in \mathbb{N}\}, \varepsilon(f^{(k)}u) = -\varphi(f^{(k)}u) = k, \tilde{e}(f^{(k)}u) = f^{(k-1)}u, \tilde{f}(f^{(k)}u) = f^{(k+1)}u,$
 $u \rightarrow f u \rightarrow f^{(2)} u \rightarrow \dots$

- pour $B(\infty) \otimes B(\infty)$, on a: $\varepsilon(f^{(k)}u \otimes f^{(l)}u) = l + 2k, \varphi(\cdot) = -l, \tilde{e}(\cdot) = f^{(k)}u \otimes f^{(l-1)}u, \tilde{f}(\cdot) = f^{(k)}u \otimes f^{(l+1)}u.$
- sur $\mathcal{U}_{\mathfrak{g}}(sl_2)$, on a $B(m) \hookrightarrow B(\infty) \otimes T_m$ - un plongement non strict
 $f^{(k)}u \mapsto f^{(k)}u \otimes t_m, 0 \leq k \leq m$